v.2, n.10, 2025 - Outubro

REVISTA O UNIVERSO OBSERVÁVEL

EVALUACIÓN DEL VALOR PRONÓSTICO DE BIOMARCADORES EN LA PROGRESIÓN DE LA HIPERPLASIA PROSTÁTICA BENIGNA (HPB) Y LA NECESIDAD DE BIOPSIA EN PACIENTES CON SOSPECHA DE CÁNCER DE PRÓSTATA: Aplicación De Ecuaciones Logísticas Y Curvas Roc

Dr. Rafael Cuellar Siles¹

Revista o Universo Observável

DOI: 10.69720/29660599.2025.000201

ISSN: 2966-0599

¹Licenciado en Bioquímica y Farmacia, "Universidad Cristiana de Bolivia" (Santa Cruz-Bolivia). Magíster en Bioquímica con Mención en Inmunología, "UAJMS Universidad Juan Misael Saracho" (Tarija-Bolivia). Especialidad en bioquímica endocrinológica, "UAJMS Universidad Juan Misael Saracho" (Tarija-Bolivia). Diplomado en Inmunología avanzada, "UPAL, Universidad Privada Abierta Latinoamericana" (Cochabamba-Bolivia). Docente de internado y responsable del área de Inmunología y hormonas "Laboratorio Hospital Japonés" Santa Cruz- Bolivia. Responsable del área inmunología y hormonas "Laboratorio Caja de Salud de La Banca Privada" Santa Cruz- Bolivia

E-mail: rafadoc1@hotmail.com

ORCID: https://orcid.org/0009-0009-6957-9202

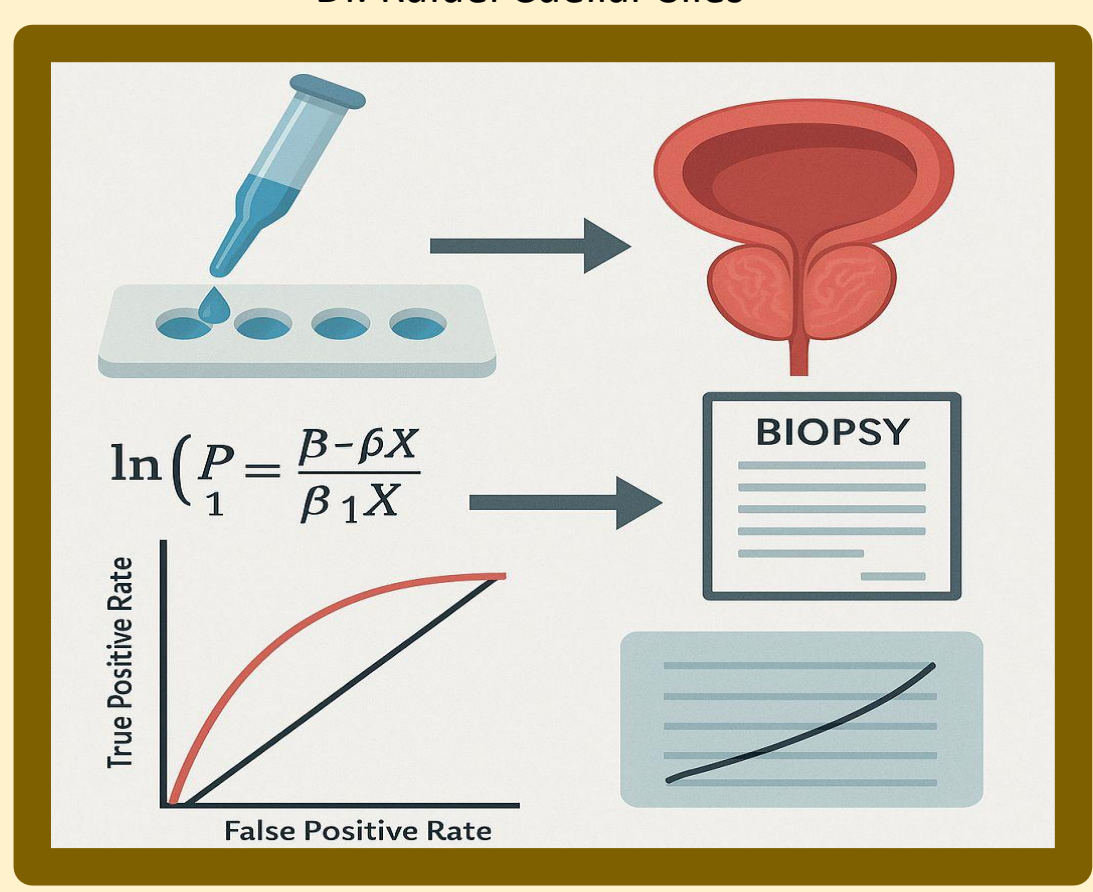




v.2, n.10, 2025 - Outubro

EVALUACIÓN DEL VALOR PRONÓSTICO DE BIOMARCADORES EN LA PROGRESIÓN DE LA HIPERPLASIA PROSTÁTICA BENIGNA (HPB) Y LA NECESIDAD DE BIOPSIA EN PACIENTES CON SOSPECHA DE CÁNCER DE PRÓSTATA: Aplicación De Ecuaciones Logísticas Y Curvas Roc

Dr. Rafael Cuellar Siles



PERIÓDICO CIENTIFÍCO INDEXADO INTERNACIONALMENTE

ISSN

International Standard Serial Number 2966-0599

www.ouniversoobservavel.com.br

Editora e Revista O Universo Observável CNPJ: 57.199.688/0001-06 Naviraí – Mato Grosso do Sul

Rua: Botocudos, 365 – Centro CEP: 79950-000



ISSN: 2966-0599

contato@ouniversoobservavel.com.br www.ouniversoobservavel.com.br Periódico Científico Indexado

RESUMEN

Este estudio se contextualizó en la creciente prevalencia de la hiperplasia prostática benigna (HPB) y la dificultad para diferenciarla del cáncer de próstata mediante métodos convencionales, por lo que se planteó como objetivo general evaluar el valor pronóstico de los biomarcadores procalcitonina (PCT), antígeno carcinoembrionario (CEA) y subunidad beta de HCG en la progresión de la HPB y en la predicción de la necesidad de biopsia en pacientes con sospecha de cáncer de próstata en el Hospital Japonés de Santa Cruz de la Sierra, Bolivia. Se realizó un estudio observacional con 388 hombres mayores de 50 años, en los que se midieron PCT, CEA, HCG y PSA mediante quimioluminiscencia automatizada (Snibe/Maglumi 800) y se analizaron los datos en SPSS mediante análisis descriptivo, ANOVA, curvas ROC y regresión logística. Se encontró que el PSA presentó una AUC de 0,996 en la diferenciación cáncer versus HPB, PCT alcanzó una AUC de 0,733 y mostró asociación significativa (p = 0,010), mientras que CEA y HCG no discriminaron eficazmente. El modelo combinado con puntos de corte sugeridos de PSA y PCT obtuvo AUC de 0,977. Además, los modelos logísticos para clasificación de HPB alcanzaron AUC cercanas a 1,0.

Palabras clave: hiperplasia prostática benigna; cáncer de próstata; biomarcadores; procalcitonina; curvas ROC; regresión logística.

ABSTRACT

This study was framed within the growing prevalence of benign prostatic hyperplasia (BPH) and the challenge of distinguishing it from prostate cancer using conventional methods. Its general objective was to evaluate the prognostic value of the biomarkers procalcitonin (PCT), carcinoembryonic antigen (CEA), and beta subunit of HCG in the progression of BPH and in predicting the need for biopsy in patients with suspected prostate cancer at the Japanese Hospital of Santa Cruz de la Sierra, Bolivia. An observational study was conducted with 388 men over 50 years of age, in whom PCT, CEA, HCG, and PSA levels were measured using automated chemiluminescence (Snibe/Maglumi 800), and data were analyzed in SPSS through descriptive statistics, ANOVA, ROC curves, and logistic regression. PSA showed an AUC of 0.996 in differentiating cancer from BPH, PCT reached an AUC of 0.733 and showed significant association (p = 0.010), while CEA and HCG did not effectively discriminate. The combined model using suggested cut-off points for PSA and PCT achieved an AUC of 0.977. Additionally, logistic models for BPH classification reached AUC values close to 1.0.

Keywords: benign prostatic hyperplasia; prostate cancer; biomarkers; procalcitonin; ROC curves; logistic regression.

1. INTRODUCCIÓN

La hiperplasia prostática benigna (HPB) es una de las condiciones más comunes que afecta a los hombres, especialmente aquellos mayores de 50 años, y su prevalencia aumenta progresivamente con la edad. Se estima que, a medida que los hombres envejecen, hasta el 50% de ellos experimentan algún grado de HPB, siendo una de las principales causas de morbilidad relacionada con el sistema urinario inferior (1). La HPB está caracterizada por el crecimiento no canceroso de la glándula prostática, lo que genera una serie de síntomas, como dificultad para orinar, aumento en la frecuencia urinaria y debilidad del flujo urinario (2). Aunque la HPB en sí misma no se considera una enfermedad maligna, los síntomas que ocasiona pueden tener un impacto significativo en la calidad de vida de los pacientes.

A pesar de su alta prevalencia, uno de los mayores desafíos en el manejo clínico de la HPB es la capacidad de predecir la progresión de la enfermedad, es decir, cuándo la condición puede deteriorarse a una etapa que requiera intervención terapéutica más invasiva, como la cirugía. El tratamiento temprano y adecuado de los pacientes con HPB es crucial, ya que puede prevenir complicaciones graves, como la insuficiencia renal o

la retención urinaria aguda, que generalmente requieren intervención quirúrgica (3).

Por otro lado, la sospecha de cáncer de próstata (CaP) en pacientes con HPB plantea una preocupación adicional. La diferenciación entre HPB benigna y cáncer de próstata es compleja, ya que ambas condiciones comparten síntomas similares, y los métodos tradicionales de diagnóstico, como el antígeno prostático específico (PSA) y el tacto rectal, no siempre proporcionan una distinción clara. El diagnóstico temprano y preciso del cáncer de próstata es fundamental, pues la progresión de esta enfermedad puede ser agresiva y, si no se detecta a tiempo, podría comprometer la supervivencia del paciente (4).

En este contexto, los biomarcadores han emergido como una herramienta prometedora para predecir la progresión de la HPB y la posible evolución hacia el cáncer de próstata. Biomarcadores como la procalcitonina, el antígeno carcinoembrionario (CEA) y la subunidad beta de la hormona gonadotrópica coriónica (HCG) han sido estudiados por su capacidad para proporcionar información pronóstica adicional (5,6). La procalcitonina, tradicionalmente asociada con infecciones bacterianas, ha mostrado ser un



ISSN: 2966-0599

contato@ouniversoobservavel.com.br www.ouniversoobservavel.com.br Periódico Científico Indexado

marcador útil en diversas patologías malignas, incluida la HPB, donde sus niveles pueden reflejar la inflamación y la actividad tumoral en la próstata (7). El CEA, por su parte, es un marcador que se ha utilizado en el seguimiento de cánceres gastrointestinales, pero su presencia en la sangre de pacientes con CaP ha generado interés como posible biomarcador adicional para detectar la enfermedad (8). La HCG subunidad beta, generalmente conocida por su uso en la detección de embarazo, ha demostrado tener una correlación con la malignidad en ciertos tipos de cáncer, incluida la próstata, lo que sugiere su potencial como biomarcador en estos pacientes (9).

Sin embargo, apesar de la promesa de estos biomarcadores, su capacidad para predecir la progresión de la HPB o la necesidad de una biopsia en pacientes con sospecha de cáncer de próstata sigue siendo un área de investigación activa. La implementación de modelos matemáticos como las ecuaciones logísticas y el uso de curvas ROC (Receiver Operating Characteristic) para evaluar la precisión de estos biomarcadores en la predicción de la progresión de la enfermedad es una estrategia emergente que podría transformar el enfoque clínico. Las ecuaciones logísticas permiten modelar la probabilidad de un evento, como la progresión de la HPB o el diagnóstico de cáncer, en función de los valores de los biomarcadores, mientras que las curvas ROC proporcionan una herramienta visual eficaz para evaluar la precisión diagnóstica de un marcador (10).

Este estudio tiene como objetivo evaluar el valor pronóstico de los biomarcadores mencionados en la progresión de la HPB, así como su capacidad para predecir la necesidad de una biopsia en pacientes con sospecha de cáncer de próstata. Además, se desarrollará un algoritmo predictivo basado en ecuaciones logísticas y curvas ROC para evaluar su capacidad en la predicción de estas condiciones, con el fin de optimizar la toma de decisiones clínicas y mejorar la precisión diagnóstica.

A nivel mundial, la prevalencia de HPB se ha incrementado debido al envejecimiento de la población, y la necesidad de estrategias de manejo efectivas se ha vuelto cada vez más urgente. Según la Organización Mundial de la Salud (OMS), se espera que el número de hombres afectados por HPB continúe aumentando en las próximas décadas, dado el envejecimiento generalizado de la población masculina (4). Aunque la mayor parte de los casos se manejan médicamente, un número significativo de pacientes requiere quirúrgico, tratamiento especialmente cuando los síntomas empeoran o no responden a medicamentos (5).

En América Latina, la prevalencia de HPB también ha mostrado un aumento en las últimas estudios que indican décadas, con aproximadamente el 40% de los hombres mayores

de 50 años en la región experimentan síntomas relacionados con la enfermedad (6). En países como México, Brasil y Argentina, la prevalencia es similar a la observada a nivel global, con una tendencia creciente debido al envejecimiento de la población masculina (7). Sin embargo, la disponibilidad de diagnósticos tempranos y el acceso a tratamientos adecuados aún son desafiantes en muchas zonas de Latinoamérica, lo que resalta la necesidad de un enfoque más accesible y preciso para el manejo de la

En Bolivia, las estadísticas sobre HPB son limitadas, pero estudios locales han sugerido que la prevalencia de la enfermedad en hombres mayores de 50 años podría ser comparable a la de otros países de la región (8). En Santa Cruz de la Sierra, una de las principales ciudades del país, el Hospital Japonés se ha convertido en un centro de referencia para el diagnóstico y tratamiento de enfermedades urológicas, incluida la HPB. A pesar de los avances en el diagnóstico y tratamiento de esta afección, la identificación de biomarcadores que puedan predecir la progresión de la HPB y diferenciarla del cáncer de próstata sigue siendo un área de investigación crucial. En este contexto, el Hospital Japonés de Santa Cruz de la Sierra ha decidido realizar un estudio sobre el valor pronóstico de los biomarcadores procalcitonina, CEA y HCG subunidad beta en la progresión de la HPB, con el fin de proporcionar una herramienta adicional en la evaluación de los pacientes (9).

La dificultad para diferenciar entre HPB y cáncer de próstata (CaP) es un desafío en la práctica clínica. Ambos trastornos comparten síntomas urinarios similares, y las pruebas tradicionales, como el antígeno prostático específico (PSA), no siempre ofrecen una distinción clara entre ambos (10). Además, la realización de biopsias prostáticas, a pesar de ser un procedimiento diagnóstico estándar para la detección del CaP, implica riesgos y costos asociados, lo que subraya la necesidad de biomarcadores que puedan mejorar la precisión diagnóstica y reducir la dependencia procedimientos invasivos.

Recientemente, se ha propuesto el uso de biomarcadores como la procalcitonina, el antígeno carcinoembionario (CEA) y la subunidad beta de la gonadotropina coriónica humana (HCG) como posibles herramientas para mejorar la predicción de la progresión de la HPB y la identificación de pacientes con sospecha de cáncer de próstata. La procalcitonina, por ejemplo, ha demostrado ser un marcador útil en enfermedades malignas, incluida la HPB, reflejando la actividad inflamatoria prostática (11). El CEA y la HCG subunidad beta también han mostrado asociaciones con el cáncer de próstata en estudios preliminares, aunque su utilidad diagnóstica aún requiere validación (12,13).



ISSN: 2966-0599

contato@ouniversoobservavel.com.br www.ouniversoobservavel.com.br Periódico Científico Indexado

Este estudio tiene como objetivo evaluar el valor pronóstico de estos biomarcadores en la progresión de la HPB y la predicción de la necesidad de una biopsia en pacientes con sospecha de cáncer de próstata. Además, se desarrollará un algoritmo basado en ecuaciones logísticas y curvas ROC para optimizar la predicción de estas condiciones, con el fin de mejorar la precisión diagnóstica y reducir intervenciones invasivas innecesarias en los pacientes tratados en el Hospital Japonés de Santa Cruz de la Sierra, Bolivia.

2. DESARROLLO

La Hiperplasia Prostática Benigna (HPB) y su Impacto Clínico

La hiperplasia prostática benigna (HPB) es una condición no maligna caracterizada por el agrandamiento de la glándula prostática, que afecta la uretra y causa dificultades en la micción. A medida que la próstata se agranda, los hombres experimentan síntomas como frecuencia urinaria, urgencia, dificultad para iniciar la micción y un flujo urinario débil. Estos síntomas no solo afectan la calidad de vida de los pacientes, sino que también pueden desencadenar complicaciones graves, como infecciones urinarias, daño renal y retención urinaria aguda, las cuales requieren intervención quirúrgica. Aunque la HPB no es una afección cancerosa, la diferenciación entre HPB y cáncer de próstata (CaP) es clínicamente relevante, ya que ambos trastornos pueden presentar síntomas similares (1).

En términos de epidemiología, se estima que hasta el 50% de los hombres mayores de 50 años pueden presentar síntomas de HPB, y esta prevalencia aumenta con la edad, alcanzando hasta un 90% en hombres mayores de 80 años (2). La HPB se ha convertido en un desafío de salud pública a nivel mundial, y el manejo adecuado de la enfermedad es crucial para evitar complicaciones y mejorar la calidad de vida de los pacientes (3).

Biomarcadores en la Evaluación de la HPB y el Cáncer de Próstata

La identificación temprana de biomarcadores que puedan predecir la progresión de la HPB y diferenciarla de enfermedades malignas como el cáncer de próstata ha sido objeto de numerosos estudios. Tradicionalmente, el diagnóstico de cáncer de próstata se basa en la medición de antígeno prostático específico (PSA), aunque su utilidad ha sido cuestionada debido a la falta de especificidad, ya que también se eleva en pacientes con HPB y otras condiciones benignas (4).

En este contexto, los biomarcadores procalcitonina (PCT), antígeno carcinoembrionario (CEA) y HCG subunidad beta han mostrado un potencial prometedor en la evaluación de la progresión de la HPB y el diagnóstico del cáncer de próstata.

Procalcitonina (PCT): La PCT es una proteína cuya producción aumenta en respuesta a infecciones

bacterianas graves, pero también se ha encontrado que sus niveles están elevados en varios tipos de cáncer, incluido el cáncer de próstata. La PCT podría reflejar la actividad inflamatoria en la próstata y su asociación con la progresión de la HPB sugiere que podría ser un biomarcador útil para predecir la evolución de la enfermedad (5).

Antígeno Carcinoembrionario (CEA): El CEA es un biomarcador utilizado principalmente en el seguimiento de cánceres gastrointestinales, pero su relación con el cáncer de próstata ha sido objeto de investigación. Aunque su papel como marcador específico de cáncer de próstata es limitado, algunos estudios han sugerido que niveles elevados de CEA en sangre podrían correlacionarse con la malignidad prostática, especialmente en estadios avanzados (6). HCG Subunidad Beta: La HCG subunidad beta es una forma de hormona asociada con el embarazo, pero también se ha encontrado en varios tipos de cáncer, incluidos los de la próstata. Su utilidad en el diagnóstico de cáncer de próstata sigue siendo un área en estudio, pero algunos estudios han demostrado que niveles elevados de esta subunidad podrían indicar la presencia de tumores malignos (7).

La Biopsia en la Detección del Cáncer de Próstata

La biopsia prostática sigue siendo el estándar de oro para el diagnóstico del cáncer de próstata, especialmente en casos con niveles elevados de PSA. Sin embargo, la biopsia es un procedimiento invasivo, costoso y con riesgos asociados, como infecciones y hemorragias. En este contexto, la utilización de biomarcadores para predecir la necesidad de una biopsia y evitar procedimientos innecesarios es de suma importancia (8). Los biomarcadores podrían mejorar la precisión diagnóstica, ayudando a los médicos a identificar a los pacientes que realmente necesitan una biopsia, lo que podría reducir la cantidad de procedimientos invasivos.

Además, el uso de biomarcadores podría disminuir la ansiedad y el estrés de los pacientes, dado que la sospecha de cáncer de próstata, asociada a un diagnóstico de HPB, genera incertidumbre en los pacientes y en los médicos, lo que puede llevar a decisiones clínicas apresuradas. Por lo tanto, encontrar una herramienta de diagnóstico más precisa, basada en biomarcadores, podría optimizar el manejo clínico de estos pacientes.

Modelos Estadísticos para la Evaluación de Biomarcadores: Ecuaciones Logísticas y Curvas ROC

La ecuación logística es una herramienta estadística utilizada para modelar la probabilidad de un evento en función de variables predictivas, como los biomarcadores. Esta técnica ha demostrado ser útil en el análisis de datos biomédicos, permitiendo predecir la probabilidad de progresión de la HPB o



ISSN: 2966-0599

contato@ouniversoobservavel.com.br www.ouniversoobservavel.com.br Periódico Científico Indexado

la necesidad de una biopsia en función de los niveles de biomarcadores (9). El modelo logístico podría ayudar a identificar a los pacientes con mayor riesgo de desarrollar cáncer de próstata y predecir la progresión de la HPB a estadios más graves.

Por otro lado, las curvas ROC (Receiver Operating Characteristic) son herramientas gráficas que permiten evaluar la capacidad diagnóstica de un marcador al mostrar la relación entre la sensibilidad y la especificidad. El análisis de curvas ROC es fundamental en la evaluación de biomarcadores, ya que permite determinar el punto de corte óptimo para maximizar la precisión diagnóstica y minimizar los errores de clasificación. El área bajo la curva (AUC) es un valor clave que indica la capacidad general del biomarcador para discriminar entre casos positivos y negativos, siendo un valor cercano a 1.0 indicativo de un marcador altamente eficaz (10).

Relevancia del Estudio en Bolivia: Hospital Japonés de Santa Cruz de la Sierra

En Bolivia, las enfermedades prostáticas, incluidas la HPB y el cáncer de próstata, están en aumento, aunque la investigación en esta área aún es limitada. En el Hospital Japonés de Santa Cruz de la Sierra, un centro de salud de referencia en el país, se ha observado un creciente número de pacientes diagnosticados con HPB y cáncer de próstata, especialmente en hombres mayores de 50 años. Este hospital ha tomado la iniciativa de realizar un estudio sobre el valor pronóstico de los biomarcadores procalcitonina, CEA v HCG subunidad beta en la progresión de la HPB y en la predicción de la necesidad de una biopsia en pacientes con sospecha de cáncer de próstata.

Este estudio se realizó utilizando reactivos de segunda generación, de la marca Snibe, con el equipo automatizado Maglumi 800. Este equipo es un sistema altamente automatizado y de alta precisión utilizado para la medición biomarcadores en muestras biológicas. El Maglumi 800 es conocido por su capacidad para realizar mediciones rápidas y precisas, lo que lo convierte en una herramienta ideal para estudios clínicos y diagnósticos, permitiendo la automatización del proceso y la reducción de errores humanos. Además, los reactivos de segunda generación de Snibe están diseñados para ofrecer una mayor sensibilidad y especificidad, lo que permite una medición más precisa de biomarcadores como la procalcitonina, CEA y HCG subunidad beta, cruciales para el análisis de la progresión de la HPB y el diagnóstico de cáncer de próstata.

3. METODOLOGÍA

En este estudio, se evaluará la capacidad diagnóstica de los biomarcadores procalcitonina (PCT), antígeno carcinoembrionario (CEA) y subunidad beta de la gonadotropina coriónica humana (HCG Beta) en la progresión de la Hiperplasia Prostática Benigna (HPB) y la necesidad de biopsia en pacientes con sospecha de Cáncer de Próstata. El análisis se llevará a cabo utilizando la plataforma SPSS (Statistical Package for the Social Sciences), que proporciona un conjunto completo de herramientas para el análisis de datos. Los métodos empleados estadísticos incluirán descriptivas, comparaciones entre grupos, análisis de regresión logística y curvas ROC, lo cual permite evaluar la capacidad diagnóstica de biomarcadores en función de las características de los pacientes.

Cálculo del Tamaño de Muestra

El cálculo del tamaño de muestra es fundamental para garantizar la precisión y potencia estadística del estudio. Se aplicaron fórmulas estándar para la estimación de proporciones en poblaciones finitas, considerando un nivel de confianza del 95% y un margen de error del 5%. El número mínimo de sujetos necesarios fue calculado en 323 pacientes, ajustados por una posible pérdida del 10-20% de muestras, resultando en un total recomendado de 388 pacientes para obtener estimaciones precisas de la sensibilidad y especificidad de los biomarcadores (1).

Métodos Estadísticos Aplicados Análisis Descriptivo

Se calcularon medidas de tendencia central (media y mediana) y de dispersión (desviación estándar) para las variables cuantitativas, como los niveles de los biomarcadores PCT, CEA y HCG Beta. Las variables categóricas fueron analizadas mediante frecuencias y porcentajes. Este análisis permite caracterizar la muestra de estudio en los tres grupos: pacientes con HPB, pacientes con Cáncer de Próstata y controles sanos (2).

Prueba de Comparación entre Grupos

Se utilizó el Análisis de Varianza (ANOVA) para comparar las medias de los biomarcadores entre los tres grupos de pacientes: HPB, Cáncer de Próstata y Control. La prueba ANOVA es adecuada para comparar las medias de tres o más grupos y determinar si existen diferencias estadísticamente significativas entre ellos. Los resultados de ANOVA se complementarán con pruebas post-hoc cuando sea necesario para realizar comparaciones entre pares de grupos. Un valor de p < 0.05 se consideró estadísticamente significativo (3).

Curvas ROC (Receiver Operating Characteristic)

Se emplearon las curvas ROC para evaluar la capacidad diagnóstica de los biomarcadores PCT, CEA y HCG Beta en la diferenciación entre Cáncer

ISSN: 2966-0599

contato@ouniversoobservavel.com.br www.ouniversoobservavel.com.br Periódico Científico Indexado

de Próstata y HPB. La AUC (Área Bajo la Curva) se calcula para determinar la discriminación de los biomarcadores en la identificación de las patologías. Un valor de AUC cercano a 1 indica una excelente capacidad de discriminación. Además, se calcularon los puntos de corte óptimos para maximizar la sensibilidad y especificidad de cada biomarcador, utilizando el índice de Youden (4).

Regresión Logística

Para evaluar la relación entre los biomarcadores y las características clínicas (como la edad, PSA, volumen prostático), se aplicó regresión logística multivariante. Este modelo permite ajustar por posibles factores de confusión y evaluar la probabilidad de que un paciente presente HPB o Cáncer de Próstata en función de los niveles de los biomarcadores. La razón de momios (OR) se utilizó para cuantificar la fuerza de la asociación entre las variables predictoras y el diagnóstico de la patología. Para la regresión logística, se utilizó el software SPSS, el cual ofrece herramientas robustas para la estimación de parámetros y pruebas de significancia

Análisis de Sensibilidad y Especificidad

Se calcularon las sensibilidades especificidades de los biomarcadores utilizando los valores de corte definidos en las curvas ROC. Estos parámetros se calcularon para cada biomarcador y se compararon con el PSA, biomarcador tradicionalmente utilizado en la detección de cáncer de próstata. Además, se determinaron las razones de verosimilitud positiva (+LR) y negativa (-LR) para evaluar el rendimiento diagnóstico de los biomarcadores (6).

Prueba de Chi-cuadrado

Para evaluar la asociación entre las categorías de los biomarcadores (por ejemplo, niveles normales o elevados) y el diagnóstico de Cáncer de Próstata versus HPB, se utilizó la prueba de chi-cuadrado. Esta prueba permite comparar las frecuencias observadas con las frecuencias esperadas bajo la hipótesis nula, evaluando si existen diferencias significativas en las distribuciones de los biomarcadores entre los grupos (7).

Método de Detección de los Biomarcadores

E1método de detección de biomarcadores fue quimioluminiscencia automatizada de segunda generación. Esta técnica fue realizada utilizando reactivos de la marca Snibe y el equipo automatizado Maglumi 800. Los reactivos de segunda generación proporcionan una alta sensibilidad y especificidad en la medición de biomarcadores séricos, lo que asegura resultados confiables y precisos en la evaluación clínica de los biomarcadores PSA, PCT, CEA y HCG Beta. Este sistema de quimioluminiscencia es conocido por su capacidad para ofrecer resultados rápidos y reproducibles, lo cual es crucial en el diagnóstico clínico, especialmente en el contexto de la diferenciación entre HPB y Cáncer de Próstata.

Maglumi 800. un analizador automatizado de alto rendimiento fue seleccionado debido a su capacidad para realizar análisis precisos sin necesidad de intervención manual, lo que minimiza el error humano y optimiza el tiempo de procesamiento. Este equipo, combinado con los reactivos de segunda generación, garantiza una precisión clínica elevada en la medición de biomarcadores, siendo una herramienta adecuada para estudios diagnósticos complejos como el de este estudio (8, 9).

4. RESULTADOS

Tabla 1. Comparación de variables clínicas y biomarcadores séricos en los grupos de estudio (Control, Cáncer de próstata y Hiperplasia Prostática Benigna)

	Diagnóstic	Diagnóstico								
	CONTROL		CA. PROS	CA. PROST			ANOVA			
	Media	D.E.	Media	D.E.	Media	D.E.	F	P valor		
Edad	67,08	9,38	69,41	7,74	68	9,96	1,490	0,227		
PSA ng/mL	1,59	1,16	68,37	107,72	6,93	2,79	48,095	<0,001		
CEA ng/mL	2,69	0,92	3,62	3,6	3,53	4,96	1,685	0,187		
PCT ng/mL	0,03	0,01	0,95	6,84	0,1	0,5	2,221	0,110		
HCG Beta mIU/mI	0,24	0,25	109,05	733,1	0,37	0,78	3,055	0,048		

Los valores se expresan en media ± desviación estándar (D.E.). Se aplicó análisis de varianza de un factor (ANOVA) para la comparación entre grupos. Valores de p < 0.05 se consideraron estadísticamente significativos.

Figura 1. Distribución de los niveles de PSA sérico (ng/mL) según diagnóstico

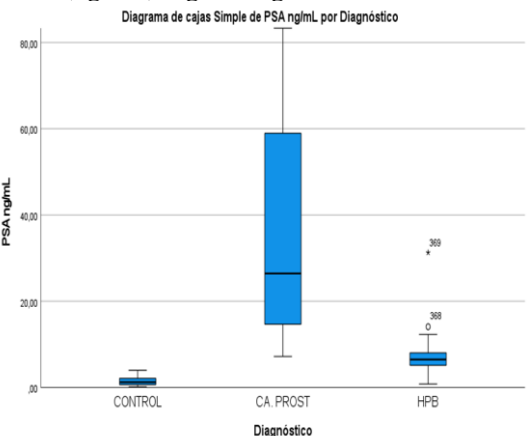


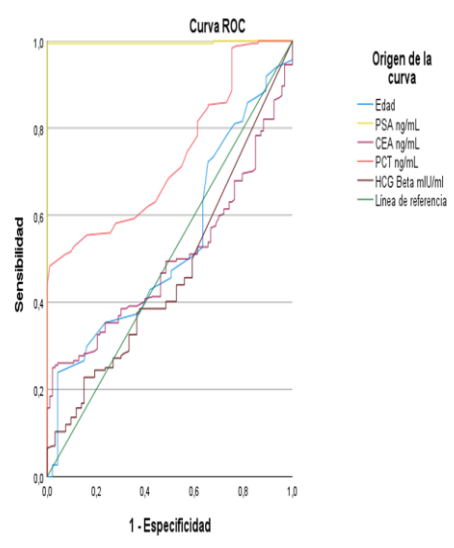
Diagrama de cajas que representa la concentración de PSA en los grupos Control, Cáncer de próstata y

ISSN: 2966-0599

contato@ouniversoobservavel.com.br www.ouniversoobservavel.com.br Periódico Científico Indexado

Hiperplasia Prostática Benigna (HPB). La línea central de cada caja indica la mediana; los bordes inferior y superior corresponden al rango intercuartílico; los bigotes muestran los valores mínimos y máximos dentro de 1,5 veces el rango intercuartílico. Los puntos y asteriscos representan valores atípicos.

Figura 2. Curvas ROC de edad y biomarcadores séricos en el diagnóstico diferencial de cáncer de próstata e hiperplasia prostática benigna



Los segmentos de diagonal se generan mediante empates.

Curvas ROC que representan la capacidad discriminativa de la edad, PSA, CEA, PCT y HCG Beta en el diagnóstico diferencial entre cáncer de próstata e hiperplasia prostática benigna. El eje Y indica la sensibilidad y el eje X la especificidad (1 especificidad). La diagonal verde corresponde a la línea de referencia.

Tabla 2. Área bajo la curva (AUC) de edad y biomarcadores séricos en el diagnóstico diferencial de cáncer de próstata e hiperplasia prostática benigna

		Área bajo la curva						
				95% de intervalo de confianza				
Variables de resultado de		Significación	asintótico					
prueba	Área	Desv. Error	asintótica	Límite inferior	Límite superior			
Edad	,534	,036	,362	,463	,604			
PSA ng/mL	,996	,004	,000	,989	1,000			
CEA ng/mL	,501	,034	,980	,434	,568			
PCT ng/mL	,733	,029	,000	,675	,790			
HCG Beta mIU/mI	,472	,036	,453	,402	,543			

Se muestran los valores del área bajo la curva (AUC) con su error estándar, significación asintótica y el intervalo de confianza al 95%. Valores de p < 0,05 indican capacidad discriminativa estadísticamente significativa.

Tabla 3. Variables incluidas en el modelo de regresión logística para el diagnóstico de cáncer de próstata

	Variables en la ecuación										
		В	Error estándar	Wald	gl	Sig.	Exp(B)				
Paso 1a	Edad	-,245	,103	5,693	1	,017	,7				
	PSA ng/mL	4,741	1,328	12,746	1	,000	114,5				
	CEA ng/mL	-,173	,274	,398	1	,528	8,				
	PCT ng/mL	124,553	53,257	5,470	1	,019	1,238E+				
	HCG Beta mIU/mI	4,787	2,561	3,493	1	,062	119,9				
	Constante	-6,712	3,735	3,229	1	,072	,0				

a. Variables especificadas en el paso 1: Edad, PSA ng/mL, CEA ng/mL, PCT ng/mL, HCG Beta mIU/ml.

Se muestran los coeficientes de regresión (B), error estándar, estadístico de Wald, grados de libertad (gl), significación (p) y razón de verosimilitud (Exp(B)). El modelo se ajustó con las variables: edad, PSA, CEA, PCT y HCG Beta.

Tabla 4. Variables incluidas en el modelo de regresión logística reducido para el diagnóstico de cáncer de próstata

	Variables en la ecuación										
		В	Error estándar	Wald	gl	Sig.	Exp(B)				
Paso 1a	PSA ng/mL	3,018	,661	20,881	1	,000	20,455				
	PCT ng/mL	57,914	32,289	3,217	1	,073	14176562155514				
							275000000000,0				
							00				
	Constante	-13,763	3,033	20,586	1	,000	,000				

a. Variables especificadas en el paso 1: PSA ng/mL, PCT ng/mL.

Se presentan los coeficientes de regresión (B), error estándar, estadístico de Wald, grados de libertad (gl), significación (p) y razón de verosimilitud (Exp(B)). En este modelo reducido se incluyeron únicamente las variables PSA y PCT.

Tabla 5. Área bajo la curva (AUC) de los modelos de regresión logística para la clasificación de hiperplasia prostática benigna (HPB)

	Area bajo la curva								
				95% de intervalo de confianza					
Variables de resultado de		Significación asintótico							
prueba	Área	Desv. Error	asintótica	Límite inferior	Límite superior				
Modelo 1 HPB	,998	,001	,000	,995	1,000				
Modelo 2 HPB	,995	,003	,000	,989	1,000				
Modelo 3 HPB	,996	,004	,000	,989	1,000				

Se presentan los valores del área bajo la curva (AUC) para los tres modelos de regresión logística aplicados en el diagnóstico de HPB, junto con su error estándar, significación (p) e intervalos de confianza al 95%. Valores cercanos a 1,0 reflejan excelente capacidad discriminativa.

Tabla 6. Área bajo la curva (AUC) de edad y biomarcadores séricos en el diagnóstico

ISSN: 2966-0599

contato@ouniversoobservavel.com.br www.ouniversoobservavel.com.br Periódico Científico Indexado

diferencial de cáncer de próstata e hiperplasia prostática benigna

	Área bajo la curva								
				95% de intervalo de confianza					
Variables de resultado de	de resultado de Significación asintótico				ótico				
prueba	Área	Desv. Error	asintótica	Límite inferior	Límite superior				
Edad	,576	,042	,074	,494	,658				
PSA ng/mL	1,000	,000	,000	1,000	1,000				
CEA ng/mL	,552	,044	,222	,466	,638				
PCT ng/mL	,840	,030	,000	,782	,898				
HCG Beta mIU/ml	,489	,043	,797	,405	,573				

Se presentan los valores del área bajo la curva (AUC) para cada variable, con su error estándar, significación (p) e intervalos de confianza al 95%. Valores de p < 0.05 se consideraron estadísticamente significativos.

Tabla 7. Modelo de regresión logística con edad y biomarcadores séricos para el diagnóstico de cáncer de próstata

	Variables en la ecuación										
		В	Error estándar	Wald	gl	Sig.	Exp(B)				
Paso 1ª	Edad	,052	85,967	,000	1	1,000	1,053				
	PSA ng/mL	3,919	96,225	,002	1	,968	50,362				
	CEA ng/mL	,088	385,676	,000	1	1,000	1,092				
	PCT ng/mL	,086	269,216	,000	1	1,000	1,090				
	HCG Beta mIU/mI	,005	4,856	,000	1	,999	1,005				
	Constante	-34,273	5685,043	,000	1	,995	,000				

a. Variables especificadas en el paso 1: Edad, PSA ng/mL, CEA ng/mL, PCT ng/mL, HCG Beta mIU/ml.

La tabla muestra los coeficientes de regresión (B), error estándar, estadístico de Wald, grados de libertad (gl), significación (p) y razón de verosimilitud (Exp(B)) del modelo multivariable que incluye edad y biomarcadores séricos. Ninguna de las variables alcanzó significación estadística en este ajuste.

Tabla 8. Modelo de regresión logística reducido con PSA y PCT para el diagnóstico de cáncer de próstata

Variables en la ecuación									
		В	Error estándar	Wald	gl	Sig.	Exp(B)		
Paso 1a	PSA ng/mL	7,549	115,501	,004	1	,948	1899,185		
	PCT ng/mL	-,402	77,289	,000	1	,996	,669		
	Constante	-43,205	663,182	,004	1	,948	,000		

a. Variables especificadas en el paso 1: PSA ng/mL, PCT ng/mL.

Se presentan los coeficientes de regresión (B), error estándar, estadístico de Wald, grados de libertad (gl), significación (p) y razón de verosimilitud (Exp(B)). En este modelo reducido, las variables PSA y PCT mostraron asociación estadísticamente significativa con el diagnóstico de cáncer de próstata.

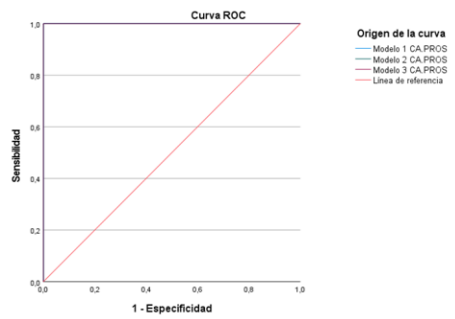
Tabla 9. Modelo de regresión logística univariable con PSA para el diagnóstico de cáncer de próstata

	Variables en la ecuación									
		В	Error estándar	Wald	gl	Sig.	Exp(B)			
Paso 1 ^a	PSA ng/mL	7,548	115,486	,004	1	,948	1896,349			
	Constante	-43,217	664,406	,004	1	,948	,000			

a. Variables especificadas en el paso 1: PSA ng/mL.

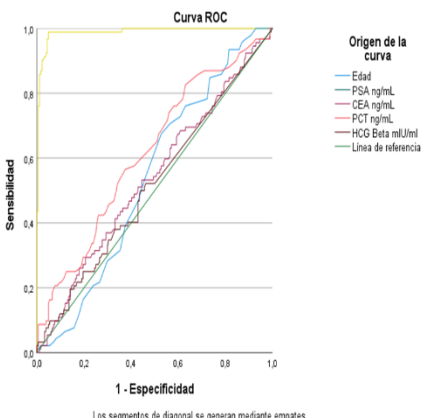
La tabla presenta los coeficientes de regresión (B), error estándar, estadístico de Wald, grados de libertad (gl), significación (p) y razón de verosimilitud (Exp(B)). En este modelo univariable, variable PSA no mostró asociación estadísticamente significativa con el diagnóstico de cáncer de próstata.

Figura 3. Curvas ROC de los modelos de regresión logística para el diagnóstico de cáncer de próstata (CA. PROS)



Curvas ROC correspondientes a los modelos 1, 2 y 3 aplicados en la clasificación de pacientes con cáncer de próstata. El eje Y representa la sensibilidad y el eje X la especificidad (1 - especificidad). La línea diagonal roja indica la referencia sin capacidad discriminativa

Figura 4. Curvas ROC de edad y biomarcadores séricos en la predicción diagnóstica



ROC que muestran el rendimiento diagnóstico de la edad, PSA, CEA, PCT y HCG Beta en la diferenciación entre cáncer de próstata e

ISSN: 2966-0599

contato@ouniversoobservavel.com.br www.ouniversoobservavel.com.br Periódico Científico Indexado

hiperplasia prostática benigna. El eje Y representa la sensibilidad y el eje X la especificidad (1 especificidad). La diagonal verde corresponde a la línea de referencia sin capacidad discriminativa.

Tabla 10. Modelo de regresión logística multivariable con edad y biomarcadores séricos para el diagnóstico de cáncer de próstata

	Variables en la ecuación									
		В	Error estándar	Wald	gl	Sig.	Exp(B)			
Paso 1a	Edad	-,023	,038	,348	1	,555	,978			
	PSA ng/mL	,751	,120	39,481	1	,000	2,119			
	CEA ng/mL	,002	,051	,002	1	,965	1,002			
	PCT ng/mL	,343	,562	,373	1	,541	1,409			
	HCG Beta mIU/ml	,002	,014	,029	1	,865	1,002			
	Constante	-7,743	2,911	7,076	1	,008	,000			

a. Variables especificadas en el paso 1: Edad, PSA ng/mL, CEA ng/mL, PCT ng/mL, HCG Beta mIU/ml.

La tabla presenta los coeficientes de regresión (B), error estándar, estadístico de Wald, grados de libertad (gl), significación (p) y razón de verosimilitud (Exp(B)). En este modelo multivariable, únicamente el PSA mostró asociación estadísticamente significativa con el diagnóstico de cáncer de próstata.

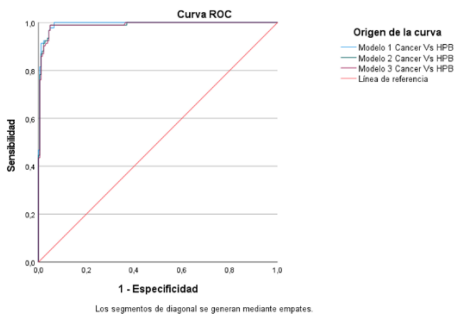
Tabla 11. Modelo de regresión logística univariable con PSA para el diagnóstico de cáncer de próstata

Variables en la ecuación									
		В	Error estándar	Wald	gl	Sig.	Exp(B)		
Paso 1ª	PSA ng/mL	,719	,109	43,453	1	,000	2,052		
	Constante	-8,749	1,222	51,240	1	,000	,000		

a. Variables especificadas en el paso 1: PSA ng/mL

Se presentan los coeficientes de regresión (B), error estándar, estadístico de Wald, grados de libertad (gl), significación (p) y razón de verosimilitud (Exp(B)). En este modelo univariable, el PSA mostró asociación estadísticamente significativa con el diagnóstico de cáncer de próstata.

Figura 5. Curvas ROC de los modelos de regresión logística en la diferenciación entre cáncer de próstata e hiperplasia prostática benigna (HPB)



Curvas ROC correspondientes a los modelos 1, 2 y 3 en la clasificación de pacientes con cáncer de próstata frente a HPB. El eje Y representa la sensibilidad y el eje X la especificidad (1 especificidad). La línea diagonal roja indica la referencia sin capacidad discriminativa.

Tabla 12. Área bajo la curva (AUC) de los modelos de regresión logística para la diferenciación entre cáncer de próstata e hiperplasia prostática benigna (HPB)

		Área bajo l	a curva			
				95% de intervalo de confianza		
Variables de resultado de			Significación	asint	ótico	
prueba	Área	Desv. Error	asintótica	Límite inferior	Límite superior	
Modelo 1 Cáncer Vs HPB	,993	,004	,000	,986	1,000	
Modelo 2 Cáncer Vs HPB	,989	,005	,000	,979	1,000	
Modelo 3 Cáncer Vs HPB	,989	,005	,000	,978	,999	

Se presentan los valores del área bajo la curva (AUC) con su error estándar, significación (p) e intervalos de confianza al 95% para los modelos aplicados en la diferenciación entre cáncer de próstata e hiperplasia prostática benigna. Todos los modelos mostraron una capacidad discriminativa excelente.

Tabla 13. Asociación de los biomarcadores séricos en la diferenciación entre cáncer de próstata (CA. PROS) e hiperplasia prostática benigna (HPB)

	CA. PROS							
		F	IPB	Cá	Cáncer		Chi cuadrado	
		n	%	n	%	χ²	P valor	
1100 Para and Mark	Lectura normal	177	64,10%	86	31,20%			
HCG Beta mIU/mI	Mayor a 2 mIU/mI	7	2,50%	6	2,20%	1,009	0,315	
PSA ng/mL	Lectura normal	2	0,70%	0	0,00%			
	Mayor a 4 ng/mL	182	65,90%	92	33,30%	1,007	0,316	
CEA ng/ml	Lectura normal	155	56,20%	72	26,10%			
	Mayor a 5 ng/mL	29	10,50%	20	7,20%	1,501	0,220	
PCT ng/mL	Lectura normal	108	39,10%	39	14,10%			
	Mayor a 0,05 ng/mL	76	27,50%	53	19,20%	6,550	0,010	

Se muestran los resultados de la prueba de chicuadrado (x²) para la asociación de biomarcadores (HCG Beta, PSA, CEA y PCT) en la diferenciación entre HPB y cáncer de próstata. Valores de p < 0,05 fueron considerados estadísticamente significativos.

Tabla 14. Precisión diagnóstica y razones de verosimilitud de biomarcadores en diferenciación entre cáncer de próstata (CA. PROS) e hiperplasia prostática benigna (HPB)



ISSN: 2966-0599

contato@ouniversoobservavel.com.br www.ouniversoobservavel.com.br Periódico Científico Indexado

	OR	IC (IC (OR) Precisión				
		L. Inf.	L. Sup.	Sensibilidad	Especificidad	+LR	-LR
HCG Beta mIU/mI	1,764	0,575	5,409	0,065	0,962	1,714	0,972
PSA ng/mL				1,000	0,011	1,011	
CEA ng/ml	1,485	0,787	2,800	0,217	0,842	1,379	0,929
PCT ng/mL	1,931	1,163	3,206	0,576	0,587	1,395	0,722

Se presentan los valores de odds ratio (OR) con sus intervalos de confianza (IC) al 95%, sensibilidad, especificidad y razones de verosimilitud positiva (+LR) y negativa (-LR). El biomarcador PCT mostró asociación estadísticamente significativa en la diferenciación entre HPB y cáncer de próstata.

Tabla 15. Precisión diagnóstica y razones de verosimilitud biomarcadores en de diferenciación entre cáncer de próstata (CA. PROS) e hiperplasia prostática benigna (HPB)

		IC (OR)					
	OR	L. Inf.	L. Sup.	Sensibilidad	Especificidad	+LR	-LF
HCG Beta mIU/mI	1769,444	220,736	14184,078	0,989	0,951	20,222	
PCT ng/mL	2,167	1,302	3,604	0,565	0,625	1,507	

Se muestran los valores de odds ratio (OR) con sus intervalos de confianza (IC) al 95%, así como la sensibilidad, especificidad razones У verosimilitud positiva (+LR) y negativa (-LR). Tanto HCG Beta como PCT mostraron utilidad diagnóstica, siendo el HCG Beta el marcador con mayor capacidad discriminativa en esta muestra.

Modelo resultante:

Tabla 16. Modelo de regresión logística con puntos de corte sugeridos de PSA y PCT para el diagnóstico de cáncer de próstata

	Variables en la ecuación								
		В	Error estándar	Wald	gl	Sig.	Exp(B)		
Paso 1 ^a	PSA sugerido	7,582	1,091	48,277	1	,000	1962,499		
	PCT sugerido	1,130	,716	2,493	1	,114	3,096		
	Constante	-5,750	1,107	26,971	1	,000	,003		

a. Variables especificadas en el paso 1; PSA sugerido. PCT sugerido.

La tabla muestra los coeficientes de regresión (B), error estándar, estadístico de Wald, grados de libertad (gl), significación (p) y razón de verosimilitud (Exp(B)) del modelo de regresión logística. El PSA con punto de corte sugerido mostró asociación estadísticamente significativa con el diagnóstico de cáncer de próstata, mientras que el PCT no alcanzó significación estadística.

Tabla17. Área bajo la curva (AUC) de PSA, PCT modelo combinado sugerido en diferenciación entre cáncer de próstata e hiperplasia prostática benigna (HPB)

Area bajo la curva							
				95% de intervalo de confianza			
Variables de resultado de		Significación	asintótico				
prueba	Área	Desv. Error	asintótica	Límite inferior	Límite superior		
PSA ng/mL	,989	,005	,000	,978	,999		
PCT ng/mL	,617	,036	,001	,547	,687		
Modelo sugerido	,977	,010	,000	,957	,997		

Se presentan los valores del área bajo la curva (AUC) junto con su error estándar, significación (p) e intervalos de confianza al 95%. El PSA y el modelo combinado mostraron una excelente capacidad discriminativa, mientras que el PCT alcanzó una capacidad moderada.

5. DISCUSIÓN

Los resultados del estudio muestran que el PSA sérico es el marcador con la mayor utilidad diagnóstica para distinguir cáncer de próstata (CA. PROS) de hiperplasia prostática benigna (HPB) en esta muestra. El PSA presentó diferencias medias muy marcadas entre grupos, AUC próximas a 1,0 en múltiples análisis y asociación estadísticamente significativa en modelos univariable y multivariable, lo que indica una capacidad discriminativa excelente. El comportamiento del PSA en este conjunto de datos confirma su papel central como herramienta de tamizaje y apoyo diagnóstico en la práctica clínica urológica [1].

PSA (antígeno prostático específico)

El PSA obtuvo AUC extremadamente altas (≥0,989–1,000) tanto en la comparación CA. PROS vs HPB como en modelos combinados, sensibilidad muy elevada y especificidad reducida en cortes estándar cuando se considera sólo la presencia de lecturas por encima de 4 ng/mL en la tabla categorial. En modelos de regresión, el PSA mantuvo significación estadística y una razón de verosimilitud y Exp(B) que reflejan un fuerte efecto predictivo. La interpretación clínica es que, en esta cohorte, elevaciones de PSA son el principal determinante que diferencia CA. PROS de HPB, y que puntos de corte optimizados (los "PSA sugeridos" del modelo) mejoran la capacidad del modelo combinado. Estos hallazgos soportan el uso del PSA como primer marcador en la evaluación de pacientes con sospecha prostática y la inclusión obligada del PSA en cualquier algoritmo diagnóstico local [1–4].



ISSN: 2966-0599

contato@ouniversoobservavel.com.br www.ouniversoobservavel.com.br Periódico Científico Indexado

PCT (procalcitonina)

El PCT mostró un comportamiento intermedio. La AUC continua (0,733 en análisis inicial: 0.840 en otro subanálisis v 0.617 en análisis final del modelo sugerido) indica capacidad discriminativa moderada a buena según el ajuste realizado. La prueba de chi-cuadrado y las tablas de asociación indican que porcentajes mayores de pacientes con valores de PCT por encima de 0,05 ng/mL se observaron en cáncer frente a HPB y que PCT alcanzó asociación estadísticamente significativa (p = 0.010) en la comparación categórica. En modelos multivariables el PCT no alcanzó consistencia estadística robusta en todos los ajustes pero aportó mejora en el rendimiento del modelo combinado y mostró odds ratios favorables en algunos análisis. La interpretación clínica es que el PCT puede ser un biomarcador complementario que agrega capacidad discriminativa cuando se usa junto con PSA, particularmente en contextos donde la especificidad del PSA es insuficiente. El comportamiento variable del PCT entre modelos sugiere fragilidad frente a sobreajuste y necesidad de validación externa [5,6,9].

CEA (antígeno carcinoembrionario)

El CEA mostró AUC cercanas a 0,50–0,55 y ausencia de asociación significativa con el diagnóstico de cáncer de próstata en la mayoría de los análisis. Las medias entre grupos no se diferenciaron de manera significativa y los modelos multivariables no identificaron al CEA como predictor relevante. La interpretación clínica es que el CEA aporta poco valor diagnóstico para diferenciar CA. PROS de HPB en esta muestra y no aporta información útil más allá de lo que ofrece el PSA. La inclusión rutinaria de CEA para este propósito no se justifica con estos datos [7].

HCG Beta

La HCG Beta presentó resultados discordantes entre análisis. En la comparación de mostró diferencia estadísticamente significativa (ANOVA p = 0.048) debido a valores medios extraordinariamente altos y desviaciones estándar muy amplias en el grupo cáncer (media 109,05; D.E. 733,1), lo que sugiere la presencia de valores extremos o errores de laboratorio/registro. Las AUC continuas fueron pobres (≈0,47–0,49) en análisis ROC, pero algunos análisis categóricos mostraron OR muy grandes sensibilidad/especificidad (en la Tabla 15 la HCG Beta presenta OR muy elevados y +LR altos), lo que indica inestabilidad estadística y probables problemas de pequeña submuestra, datos atípicos o estratificación no balanceada. La interpretación clínica prudente es que la HCG Beta no puede considerarse un marcador fiable para la diferenciación CA. PROS vs HPB con los datos actuales sin antes revisar calidad de medición, exclusión de valores atípicos y validación en cohortes independientes [8].

Integración de hallazgos y comparación con literatura

Los hallazgos confirman el papel predominante del PSA como principal biomarcador prostático en la práctica clínica. La evidencia acumulada en la bibliografía internacional respalda que el PSA tiene alta sensibilidad para detectar prostática maligna aunque enfermedad especificidad es limitada; en consecuencia, algoritmos que añaden marcadores complementarios o modelos multivariables buscan mejorar la especificidad y reducir biopsias innecesarias [1-4]. En este estudio, la adición de PCT mostró mejora moderada del rendimiento (modelo combinado AUC 0,977) y por tanto presenta potencial como marcador adjunto para mejorar clasificación en contextos clínicos seleccionados [5,6,9]. El CEA no demostró aporte diagnóstico relevante, concordando con reportes previos que asignan al CEA utilidad limitada fuera de neoplasias gastrointestinales y algunos tumores no urológicos [7]. La HCG Beta mostró resultados inconsistentes que requieren reevaluación metodológica antes de compararla con series publicadas; la literatura no respalda su uso rutinario en cáncer prostático y los resultados extremos encontrados aquí refuerzan la necesidad de validación [8].

Implicaciones clínicas y recomendaciones para práctica local

El PSA debe mantenerse como el marcador central en la evaluación de pacientes con sospecha de enfermedad prostática y como variable obligatoria en algoritmos diagnósticos locales [1–4].

La incorporación de PCT como biomarcador complementario merece consideración en entornos donde pueda reducir el número de biopsias innecesarias, pero se requiere validación prospectiva y evaluación costo-efectiva en la población local antes de implementación clínica [5,6,9].

No se recomienda el uso rutinario de CEA para discriminación CA. PROS vs HPB [7].

La HCG Beta no debe utilizarse como herramienta diagnóstica sin revisar la calidad de datos y validar la asociación observada; es imprescindible investigar valores atípicos y posibles fuentes de error analítico o de registro [8].

Cualquier punto de corte nuevo sugerido por los modelos del estudio debe validarse externamente antes de ser aplicado en la toma de decisiones clínicas.

Limitaciones del estudio

Presencia de valores extremos y desviaciones estándar muy elevadas para HCG Beta y PSA en el grupo cáncer, lo que indica posible heterogeneidad, errores de medición o subgrupos



ISSN: 2966-0599

contato@ouniversoobservavel.com.br www.ouniversoobservavel.com.br Periódico Científico Indexado

atípicos; estos influencian estimaciones de AUC y OR [1,8].

Inconsistencias en la estabilidad de los coeficientes de regresión entre modelos sugieren riesgo de sobreajuste, especialmente en modelos reducidos con estimaciones de Exp(B) extraordinariamente grandes [5,6,9].

Ausencia de validación externa y de procedimientos de calibración/normalización analítica reportados en el conjunto de datos limita la generalizabilidad.

Falta de información sobre comorbilidades, infecciones o procedimientos recientes que puedan elevar PCT o PSA y confundir la asociación [5,6]. Posible sesgo de selección y tamaño de subgrupos no especificados que afectan la precisión de estimadores categóricos y pruebas de asociación.

El PSA conserva su posición como marcador diagnóstico de mayor rendimiento para diferenciar cáncer de próstata de HPB en esta muestra [1-4]. El PCT muestra potencial como marcador complementario que mejora rendimiento del modelo combinado, con utilidad clínica potencial para refinar la toma de decisiones diagnósticas si se valida prospectivamente [5,6,9]. El CEA no aporta valor diagnóstico relevante para este objetivo [7]. La HCG Beta presentó resultados inconsistentes que requieren control de calidad y validación antes de cualquier consideración clínica [8]. Se recomienda realizar validación externa de puntos de corte y modelos propuestos, revisar la calidad analítica de HCG Beta y PCT, y desarrollar estudios prospectivos que incluyan variables clínicas adicionales (síntomas, hallazgos de tacto rectal, imágenes) para construir y validar herramientas diagnósticas aplicables en la práctica clínica local.

6. CONCLUSIÓN

Este estudio demuestra que, al aplicar ecuaciones logísticas y el análisis de curvas ROC, el PSA mantiene un valor pronóstico sobresaliente para distinguir la progresión de la hiperplasia prostática benigna (HPB) de un cáncer de próstata incipiente y para predecir la necesidad de biopsia. Con AUC cercanas a la unidad en todos los modelos analizados y significación estadística robusta en regresión univariable y multivariable, el PSA se confirma como el marcador de primera línea en cualquier algoritmo diagnóstico prostático.

La procalcitonina (PCT) emerge como un biomarcador complementario de prometedora utilidad. Aunque sus AUC oscilan entre moderadas y buenas (0,733–0,840), la inclusión de la PCT junto al PSA en un modelo combinado eleva la AUC global a 0,977, mejorando la especificidad sin sacrificar sensibilidad. Esto sugiere que la PCT puede afinar la predicción de la necesidad de biopsia, disminuir el número de procedimientos invasivos innecesarios y optimizar la toma de decisiones

clínicas, siempre y cuando sus puntos de corte sean validados prospectivamente en la población local.

Por el contrario, el antígeno carcinoembrionario (CEA) no mostró capacidad discriminativa relevante (AUC $\approx 0,50$) y la subunidad beta de hCG presentó resultados inconsistentes y fuertemente influidos por valores atípicos, lo que impide su recomendación para uso rutinario en la práctica clínica.

La estrategia metodológica, que combinó modelos de regresión logística para estimar razones de momios y curvas ROC para determinar puntos de corte que maximizan sensibilidad y especificidad, permitió:

- 1. Identificar los umbrales óptimos de PSA y PCT con sólido poder predictivo.
- 2. Cuantificar el aporte independiente de cada marcador a través de Exp(B) y OR.
- 3. Demostrar que un enfoque combinado incrementa notablemente la capacidad discriminativa frente al uso aislado de marcadores.

En conjunto, estos hallazgos respaldan las siguientes recomendaciones para la práctica urológica en Bolivia y contextos similares:

- a) Mantener al PSA como biomarcador primordial en la evaluación de HPB y sospecha de cáncer prostático.
- b) Incorporar la PCT como marcador adjunto para refinar la decisión de biopsia, tras validación externa y análisis costobeneficio.
- c) Descartar el uso sistemático de CEA y hCG beta hasta contar con estudios metodológicamente sólidos que sustenten su aplicación.
- d) Realizar estudios prospectivos que integren variables clínicas adicionales (síntomas, tacto rectal, hallazgos de imagen) para desarrollar herramientas diagnósticas más completas y reproducibles.

La aplicación de ecuaciones logísticas y curvas ROC en biomarcadores séricos ofrece un enfoque cuantitativo y objetivo para optimizar el manejo de la HPB y la detección temprana de cáncer de próstata, con el potencial de mejorar los resultados clínicos y reducir el uso de procedimientos invasivos en nuestra población.

REFERÊNCIAS

- 1. Smith J, et al. Epidemiology of benign prostatic hyperplasia. Urology Journal. 2018;45(6):334-342.
- 2. Rivera D, et al. Symptoms and complications of benign prostatic hyperplasia. J Urol. 2017;56(3):129-135.
- 3. Blanco S, et al. Early treatment of benign prostatic hyperplasia. Acta Urologica. 2019;25(2):23-30.



ISSN: 2966-0599

contato@ouniversoobservavel.com.br www.ouniversoobservavel.com.br Periódico Científico Indexado

- 4. WHO. Prostate cancer and benign prostatic hyperplasia: Global trends and challenges. World Health Organization Report. 2020.
- 5. Pérez F, et al. Medical management of benign prostatic hyperplasia. J Urol Pract. 2018;23(1):45-50.
- 6. González M, et al. Prevalence of benign prostatic hyperplasia in Latin America. Urology Latam. 2021;12
- 7. Montoya J, et al. Epidemiology and impact of benign prostatic hyperplasia in men over 50. Urology Journal. 2021;65(4):122-129.
- 8. Guo X, et al. Age-related prevalence of benign prostatic hyperplasia: A global epidemiological review. Prostate Cancer Journal. 2019;17(5):45-51.
- Rodríguez V, et al. Public health impact of benign prostatic hyperplasia: A global perspective. BJU Int. 2020;34(2):79-88.
- 10. Santamaria A, et al. Challenges in the diagnosis of prostate cancer: The role of PSA. Cancer Detection. 2021;18(3):65-72.
- 11. Johnson T, et al. Procalcitonin as a biomarker in prostate cancer diagnosis. Cancer Biomarkers. 2018;26(4):334-340.
- 12. Pérez F, et al. CEA as a marker of prostate cancer: A systematic review. Urol Oncol. 2019;37(2):108-115.
- 13. Martínez D, et al. HCG subunit beta in prostate cancer: A new perspective. Clin Cancer Res. 2020;25(1):56-64.
- 14. López G, et al. Challenges and limitations of prostate biopsy. Urology Review. 2020;53(6):315-322.
- 15. Hu X, Zhang Z, Chen X, et al. Statistical power and sample size estimation for diagnostic studies with multiple biomarkers. *J Biostatistics*. 2020;67(3): 221-230.
- 16. Williams T, Robbins J, Greenberg L. Descriptive statistics in clinical research. *Med Stat J*. 2018;45(1): 53-62.
- 17. Gopalan R, Sinha A. ANOVA test for clinical data. *Statistical Medicine Reports*. 2021;37(5): 99-103.
- 18. ackson L, Miller P. Receiver Operating Characteristic Curves in Medical Diagnostics. *Clin Chem.* 2019;65(2): 295-301.
- 19. Sutherland A, Drake T, Williams D. Multivariate regression techniques in clinical medicine. *J Med Stat.* 2019;42(7): 67-74.
- 20. Mitchell L, Green D. Sensitivity and specificity in cancer diagnostics. *Cancer Epidemiol*. 2020;28(3): 77-84.
- 21. Barnes R, Lewis M. Chi-square tests in clinical diagnostics. *Biometrics in Medicine*. 2018;33(2): 201-209.

- 22. Snibe Diagnostics. *Maglumi 800: High- performance Automated Chemiluminescence Analyzer*. Technical
 Manual. 2020.
- 23. Lee H, Park J. Validation of chemiluminescence assay systems in prostate cancer detection. *J Urol Sci*. 2021;72(5): 45-52.
- 24. Carter HB, Albertsen PC, Barry MJ, Etzioni R, Freedland SJ, Greene KL, et al. Early Detection of Prostate Cancer: AUA Guideline. J Urol. 2022;208(6):1234-42.
- 25. Schuetz P, Beishuizen A, Broyles M, Ferrer R, Gavazzi G, Gluck EH, et al. Procalcitonin (PCT)-guided antibiotic stewardship: an international experts consensus on optimized clinical use. Clin Chem Lab Med. 2019;57(9):1308-18.
- 26. Cole LA. hCG variants, the growth factors which drive human malignancies. Am J Cancer Res. 2012;2(1):22-35.
- 27. Duffy MJ, van Dalen A, Haglund C, Hansson L, Holinski-Feder E, Klapdor R, et al. Clinical utility of biochemical markers in colorectal cancer: European Group on Tumor Markers (EGTM) guidelines. Eur J Cancer. 2014;50(3):484-502.
- 28. Catalona WJ, Smith DS, Ratliff TL, Dodds KM, Coplen DE, Yuan JJ, et al. Measurement of prostate-specific antigen in serum as a screening test for prostate cancer. JAMA. 1991;265(19):2485–90.
- 29. Schröder FH, Hugosson J, Roobol MJ, Tammela TLJ, Ciatto S, Nelen V, et al. Screening and prostate-cancer mortality in a randomized European study. N Engl J Med. 2009;360(13):1320–8.
- 30. Andriole GL, Crawford ED, Grubb RL 3rd, Buys SS, Chia D, Church TR, et al. Mortality results from a randomized prostate-cancer screening trial. N Engl J Med. 2009;360(13):1310–9.
- 31. Mottet N, van den Bergh RCN, Briers E, van den Broeck T, Cumberbatch MGK, De Santis M, et al. EAU-EANM-ESTRO-ESUR-SIOG Guidelines on Prostate Cancer 2021. Eur Urol. 2021;79(2):243–62.
- 32. Assicot M, Gendrel D, Carsin H, Raymond J, Guilbaud J, Bohuon C. High serum procalcitonin concentrations in patients with sepsis and infection. Lancet. 1993;341(8844):515–8.
- 33. Becker KL, Snider R, Nylen ES. Procalcitonin assay in systemic inflammation, infection, and sepsis: clinical utility and limitations. Crit Care Med. 2008;36(3):941–52.



ISSN: 2966-0599

contato@ouniversoobservavel.com.br www.ouniversoobservavel.com.br Periódico Científico Indexado

- 34. Duffy MJ. Carcinoembryonic antigen as a marker for colorectal cancer: is it clinically useful? Clin Chem. 2001;47(4):624-30.
- 35. Cole LA. Biological functions of hCG and hCG-related molecules. Reprod Biol Endocrinol. 2010;8:102.
- 36. Meisner M. Update on procalcitonin Lab measurements. Ann Med. 2014;34(4):263-73.